

Aplicação do Conceito de Área de Coerência Óptica: Sistema Óptico para Espectroscopia Rayleigh

G. A. BARBOSA

Departamento de Física, Instituto de Ciências Exatas, Universidade Federal de Minas Gerais, Caixa Postal 702, Belo Horizonte, MG

Recebido em 6 de Novembro de 1980

A practical optical system for Rayleigh spectroscopy is shown as an application of the optical coherence area concept. A short review of the propagation of the electric field self-correlation function is presented.

É mostrado um sistema Óptico prático para espectroscopia Rayleigh como uma aplicação do conceito de área de coerência óptica. É apresentada uma breve revisão da propagação da função de auto-correlação do campo elétrico.

INTRODUÇÃO

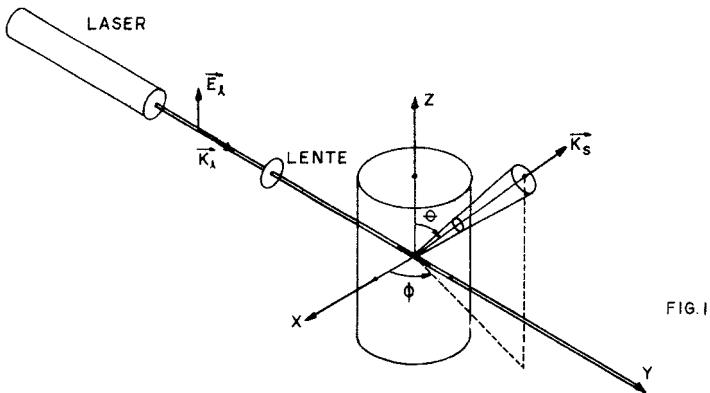
Na Espectroscopia Rayleigh ou de Correlação Temporal de Ftons¹ torna-se necessário analisar a luz espalhada dentro de uma área de coerência Óptica, ou seja, coletar a luz dentro de um ângulo sólido tal que o campo elétrico da onda espalhada, entre os pontos \vec{r}_1 e \vec{r}_2 , localizados nesta área esteja correlacionado, isto é, $\langle E(\vec{r}_1, t) E^*(\vec{r}_2, t) \rangle \neq 0$. Não sendo esta condição satisfeita, isto é, coletando-se luz dentro de áreas maiores do que uma área de coerência, a intensidade luminosa cresce proporcionalmente à área, mas não o sinal correlacionado, o que reduz o sinal Útil em relação ao correlacionado, chegando a tornar impraticável a utilização da técnica.

Um sistema Óptico que realize a função de coletar a luz espalhada na condição desejada e com bom aproveitamento do sinal lumino-

so - muitas vezes de baixa intensidade - embora seja simples, exige o entendimento do que se entende por área de coerência Óptica e de como aplicar este conceito num projeto específico.

A presente nota tem por finalidade apresentar o conceito já clássico de coerência óptica espacial e sua utilização numa situação experimental.

A figura 1 mostra uma situação típica: radiação de um laser incide, focalizada, sobre um meio espalhador a ser analisado. Pretende-se coletar a luz espalhada com vetor de onda \vec{k}_s num elemento de ângulo sólido como indicado.

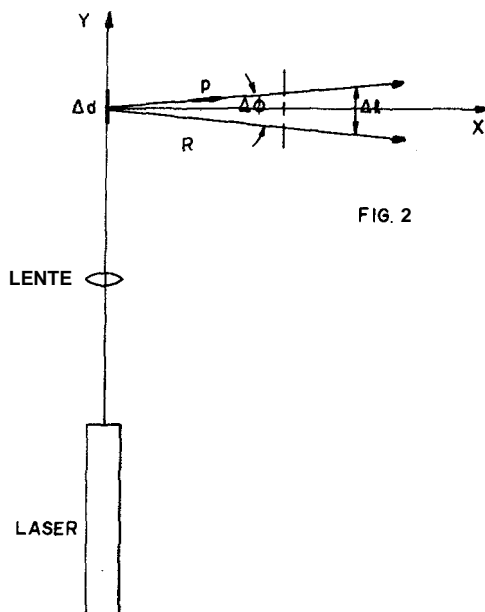


ÁREA DE COERÊNCIA

Inicialmente ilustra-se o conceito de área de coerência e no Apêndice é feita uma apresentação mais formal e exata.

Considera-se na Fig. 2 o caso simplificado $\theta = \pi/2$ e $\phi = 0$. Imagina-se a região iluminada com dimensão Δd e duas fendas paralelas num anteparo situado a uma distância R e separadas por AR .

O momentum do fóton espalhado é $p = h/\lambda$ e ao longo de y tem-se uma imprecisão no momentum de $\Delta p_y = 2p \sin \Delta\phi/2 \sim 2p(\Delta\phi/2)$. A imprecisão na localização do fóton será da dimensão da fonte $\Delta y \approx A d$. Portanto $\Delta y \Delta p_y \approx \Delta d (2h/\lambda) (\Delta\phi/2) \geq h$, ou seja, $\Delta d \Delta\phi \geq \lambda$. Pode-se produzir interferências para separações das fendas tais que o ângulo sólido



lido por elas subtendido defina um $\Delta\phi_n$ tal que $\Delta d \Delta\phi_n \leq \lambda$. Definindo - se $\Delta\phi_c$ como ângulo de coerência através de $\Delta d \Delta\phi_c = \lambda$, ficará também

$$A_c \sim (R\Delta\phi_c)^2 \sim \frac{R^2\lambda^2}{(\Delta d)^2} \quad (1)$$

Embora a definição da área de coerência desta maneira seja qualitativamente correta pode-se chegar a uma formulação mais precisa e válida para fontes com formas mais gerais (ver Apêndice).

UM ARRANJO PRÁTICO

A Fig. 3 exemplifica um arranjo para aplicar-se o resultado encontrado numa experiência simples para espalhamento Rayleigh de 90° .

Considera-se que o laser seja focalizado em dimensões de $\sim 100\mu$. Esta focalização ocorre dentro de uma amostra onde, geralmente, não se tem acesso direto para uma medida das dimensões da região focalizada. Por simplicidade, faça-se $L = R$ e $f = R/2$. Os resultados são facilmente estendidos para $L \neq R$ e $f \neq R/2$.

É necessário que o orifício no anteparo 1 tenha área $(\pi/4 \phi_1^2)$, igual à área de coerência A_c . As expressões (1) e (8) exigem que uma região bem especificada de raio ρ_0 seja definida. A lente L_1 focaliza a região de espalhamento sobre o anteparo 2 onde é colocado um orifício de área $(\pi/4 \phi_2^2)$, aproximadamente igual ou menor do que as dimensões da região de espalhamento. Consequentemente, a luz incidindo sobre a fotomultiplicadora forçosamente estará vindo de uma região no centro de espalhamento de área $\frac{\pi}{4} \phi_2^2 = \pi \rho_0^2$, ρ_0 está então especificado. Este procedimento é equivalente a se colocar uma "máscara", diretamente na região de espalhamento, definindo o tamanho da fonte: Faz-se então $(\pi/4 \phi_1^2)$ igual a A_c dado pela fórmula (8), completando-se a especificação.

O sistema atualmente utilizado no nosso laboratório (ver figura 4), com um laser de He-Ne ($\lambda_0 = 6328 \text{ \AA}$) tem as dimensões $R = 40 \text{ cm}$, $\phi_1 = 1500 \mu$ e $\phi_2 = 100 \mu$. A lente é plano convexa com $f = 20 \text{ cm}$.

A lente L_2 deve ter boa qualidade óptica, sem defeitos como bolhas microscópicas, riscos, etc., pois como a área utilizada é muito pequena, defeitos podem enviar luz não coerente sobre o orifício 2.

Se a lente L_1 tiver um foco suficientemente longo, a imprecisi-

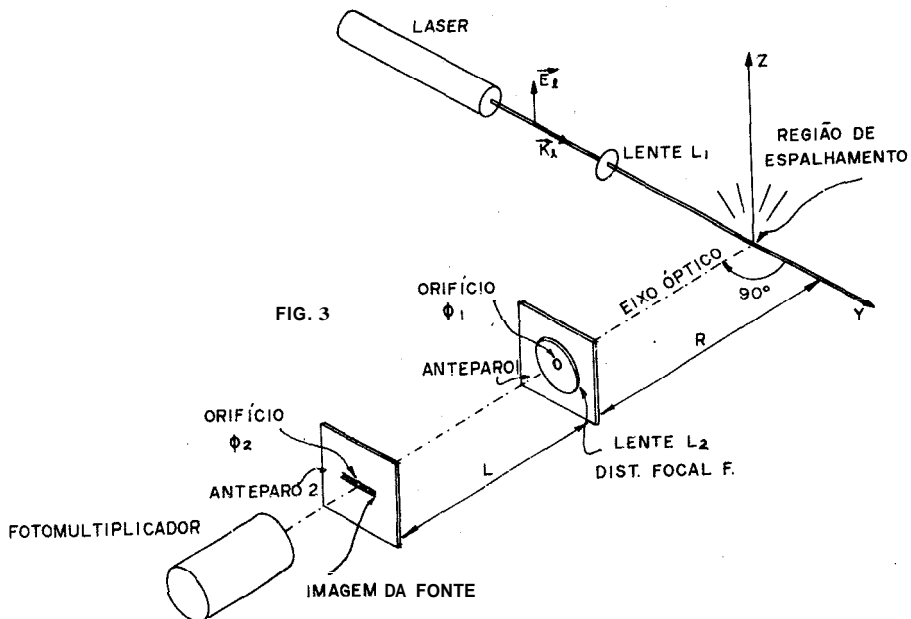




FIG. 4

são na determinação do momentum espalhado será praticamente devida à dimensão do orifício 1.

$$\left[\frac{\Delta k_s}{k_s} \approx \frac{\phi_1}{2R} \rightarrow 0.2\% , \text{ no nosso caso} \right].$$

APÊNDICE

Equações de Onda para a Coerência Mútua

Define-se a função correlação do campo espalhado

$$\begin{aligned} \Gamma(\vec{r}_1, \vec{r}_2, t_1, t_2) &\equiv \langle E(\vec{r}_1, t_1+t) E^*(\vec{r}_2, t_2+t) \rangle = \\ &= \lim_{T \rightarrow \infty} \frac{1}{2T} \int_{-T}^T E(\vec{r}_1, t_1+t) E^*(\vec{r}_2, t_2+t) dt \quad , \end{aligned} \quad (1)$$

\vec{r}_1 e \vec{r}_2 definem dois pontos genéricos.

Como o campo elétrico obedece a uma equação de propagação e a função de correlação acima depende deste campo, procura-se estabelecer uma equação de propagação² para a função de correlação para se

conhecer suas propriedades nos pontos \vec{P}_1 e \vec{P}_2 como, por exemplo, em duas fendas situadas a uma distância da fonte ou sobre um orifício circular, como é utilizado no nosso caso prático. Born e Wolf³ e Parrent² apresentam soluções detalhadas para este problema. Apresenta-se a seguir uma síntese da solução de Parrent, onde introduzimos uma pequena correção.

Designando por ∇_i^2 o operador laplaciano em relação às coordenadas x_i , escreve-se a equação de onda

$$\nabla_1^2 E(\vec{P}_1, t+t_1) - \frac{1}{c^2} \frac{\partial^2}{\partial t_1^2} E(\vec{P}_1, t+t_1) = 0$$

Aplicando ∇_1^2 a Γ tem-se portanto

$$\nabla_1^2 \Gamma = \lim_{T \rightarrow \infty} \frac{i}{2T} \int_{-T}^T \left[\frac{1}{c^2} \frac{\partial}{\partial t_1^2} E(\vec{P}_1, t_1+t) E^*(\vec{P}_2, t_2+t) \right] dt = \frac{1}{c^2} \frac{\partial^2}{\partial t_1^2} \Gamma$$

e um resultado similar para $\nabla_2^2 \Gamma$. Para campos estacionários $\Gamma(\vec{P}_1, \vec{P}_2, t_1, t_2) = \Gamma(\vec{P}_1, \vec{P}_2, \tau)$, onde $\tau = t_2 - t_1$. Tem-se então as equações de propagação para Γ :

$$\nabla_\alpha^2 \Gamma - \frac{1}{c^2} \frac{\partial^2}{\partial \tau^2} \Gamma = 0 \quad (2)$$

$\alpha = 1, 2$.

Parrent obteve a solução para $\Gamma(\vec{P}_1, \vec{P}_2, \tau)$, através da utilização sucessiva de identidades de Green, supondo que a função de correlação sobre a fonte $\Gamma(\vec{S}_1, \vec{S}_2, \tau')$ era conhecida.

Explicitamente, a solução é⁴

$$\Gamma(\vec{P}_1, \vec{P}_2, \tau) = \frac{1}{(2\pi)^2} \iint_{\sigma} \frac{\cos\theta_1 \cos\theta_2}{(r_1 r_2)^2} \left[1 + \frac{r_1 - r_2}{c} \frac{\partial}{\partial \tau} - \frac{r_1 r_2}{c^2} \frac{\partial^2}{\partial \tau^2} \right] \times \\ \times \Gamma \left[\vec{S}_1, \vec{S}_2, \tau - \frac{(r_1 - r_2)}{c} \right] da_1 da_2 \quad (3)$$

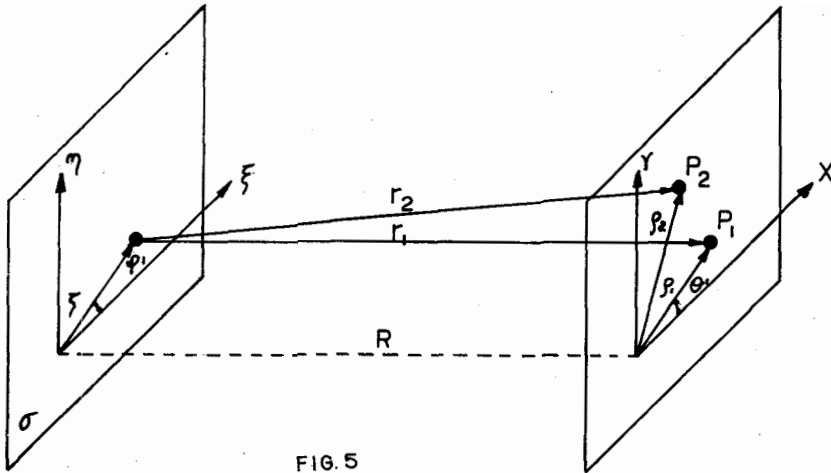


FIG. 5

Este resultado descreve a correlação desejada em relação a dois pontos \vec{P}_1 e \vec{P}_2 , se for conhecida a correlação na fonte $\Gamma(\vec{S}_1, \vec{S}_2, \tau - (r_1 - r_2)/c)$. \vec{S}_1 e \vec{S}_2 designam pontos sobre a fonte. θ_1 e θ_2 descrevem os ângulos de \vec{r}_1 e \vec{r}_2 , em relação a uma normal à fonte. Ver fig. 5.

Para uma fonte quase-monocromática, tem-se

$$E(\vec{P}_1, t) \approx E_0(\vec{P}_1) e^{-2\pi i \nu_0 t}$$

$$E(\vec{P}_2, t+\tau)^* \approx E_0(\vec{P}_2) e^{2\pi i \nu_0 (t+\tau)}$$

e

$$\Gamma(\vec{P}_1, \vec{P}_2, \tau) = \lim_{T \rightarrow \infty} \frac{1}{2T} e^{2\pi i \nu_0 \tau} \int_{-T}^T E(\vec{P}_1, t) E^*(\vec{P}_2, t+\tau) dt = e^{2\pi i \nu_0 \tau} \Gamma(\vec{P}_1, \vec{P}_2, 0).$$

Se a fonte considerada é estacionária, tem-se também

$$\Gamma(\vec{P}_1, \vec{P}_2, \tau_2) = e^{2\pi i \nu_0 \tau} \Gamma(\vec{P}_1, \vec{P}_2, \tau_1), \text{ onde } \tau = \tau_2 - \tau_1.$$

Se a fonte é incoerente, pode-se utilizar a aproximação

$$\Gamma(\vec{S}_1, \vec{S}_2, \tau) \approx I(\vec{S}_1) \delta(\vec{S}_1 - \vec{S}_2) e^{2\pi i \nu_0 \tau}.$$

Aplicando o operador

$$1 + \frac{r_1 - r_2}{c} \frac{\partial}{\partial \tau} - \frac{r_1 r_2}{c^2} \frac{\partial^2}{\partial \tau^2} \text{ a } \Gamma(\vec{S}_1, \vec{S}_2, \tau - \frac{r_1 - r_2}{c}) ,$$

obtem-se

$$\Gamma(\vec{P}_1, \vec{P}_2, \tau) \cong e^{2\pi i \nu_0} \left(\frac{k_0}{2\pi} \right)^2 \int_{\sigma} \frac{I(\vec{S}_1)}{r_1 r_2} e^{-ik_0(r_1 - r_2)} da_1 \quad (4)$$

Supondo-se agora que \vec{P}_1 e \vec{P}_2 estejam num plano paralelo a σ e que a separação entre \vec{P}_1 e \vec{P}_2 seja pequena em relação à distância entre a fonte e o plano de observação (Ver fig. 5) vê-se que $\zeta^2 = \eta^2 + \xi^2$, $\rho_1^2 = x_1^2 + y_1^2$, $\rho_2^2 = x_2^2 + y_2^2$, $r_1^2 = R^2 + (x_1 - \xi)^2 + (y_1 - \eta)^2$, $r_2^2 = R^2 + (x_2 - \xi)^2 + (y_2 - \eta)^2$

Ná aproximação mencionada

$$r_1 - r_2 \cong \frac{x_1^2 + y_1^2}{2R} - \frac{x_2^2 + y_2^2}{2R} + \xi \frac{(x_2 - x_1)}{R} + \eta \frac{(y_2 - y_1)}{R} \cong -\frac{\psi}{k_0} + \xi p + \eta q .$$

De (4) resulta o clássico "Teorema de Van Cittert-Zernike"⁵:

$$\Gamma(\vec{P}_1, \vec{P}_2, \tau) \cong \left(\frac{k_0}{2\pi} \right)^2 \frac{e^{i(\psi + 2\pi \nu_0 \tau)}}{R^2} \int_{\sigma} I(\xi, \eta) e^{-ik_0(p\xi + q\eta)} d\xi d\eta \quad (5)$$

Definindo-se

$$\gamma(\vec{P}_1, \vec{P}_2, \tau) = \frac{\Gamma(\vec{P}_1, \vec{P}_2, \tau)}{\sqrt{\Gamma(\vec{P}_1, \vec{P}_1, 0)} \sqrt{\Gamma(\vec{P}_2, \vec{P}_2, 0)}}$$

onde

$$\Gamma(\vec{P}_1, \vec{P}_1, 0) = \left(\frac{k_0}{2\pi} \right)^2 \frac{1}{R^2} \int_{\sigma} I(\xi, \eta) d\xi d\eta = \Gamma(\vec{P}_2, \vec{P}_2, 0) ,$$

chega-se à função de correlação normalizada

$$\gamma(\vec{P}_1, \vec{P}_2, \tau) \cong e^{i(\psi + 2\pi \nu_0 \tau)} \frac{\int_{\sigma} I(\xi, \eta) e^{-ik_0(p\xi + q\eta)} d\xi d\eta}{\int_{\sigma} I(\xi, \eta) d\xi d\eta} \quad (6)$$

Para uma fonte circular e de densidade uniforme, pode-se mostrar que

$$\gamma(\vec{P}_1, \vec{P}_2, \tau) = e^{i(\psi + 2\pi\nu_0 \tau)} \frac{2J_1\left(\frac{k_0 \rho_0 \Delta P}{R}\right)}{\left(\frac{k_0 \rho_0 \Delta P}{R}\right)} \quad (7)$$

onde $\Delta P = |\vec{P}_2 - \vec{P}_1|$ e ρ_0 é o raio da fonte.

A expressão (7) possui um máximo para $\Delta P = 0$ e decresce até o primeiro zero em

$$\frac{k_0 \rho_0 \Delta P_f}{R} \approx 3.832 .$$

A região definida por $\Delta P = \Delta P_f$ dentro das fronteiras definidas pelo primeiro zero de (7) é chamada de área de coerência óptica do campo de radiação da fonte em o, em torno do ponto \vec{P}

$$A_{\text{coerência óptica}} \approx \pi \left(\frac{\Delta P_f}{2}\right)^2 \approx 0.2921 \left(\frac{R\lambda_0}{\rho_0}\right)^2 \quad (8)$$

Agradece-se ao Prof. Ramayana Gazzinelli pela leitura crítica do manuscrito.

REFERÊNCIAS

1. G. B. Benedek, *Polarization, Matière et Rayonnement*, Presses Universitaire de France, Paris, 1969. O.N. Mesquita - Tese de Mestrado - UFMG (1969).
2. G. B. Parrent Jr., *J. Opt. Soc. Am.* 49, 787 (1959).
3. M. Born, E. Wolf, *Principles of Optics* (Pergamon Press, New York, 1959) p. 535.
4. Um pequeno erro na ref. 2 está aqui corrigido e teve origem em de-

rivadas efetuadas incorretamente na superfície a da ref. 2 ($\partial x/\partial \eta = z/r$, etc.).

5. P.H.Van Cittert, *Physica* 6, 1129 (1939). F.Zernike, *Physica* 5, 785 (1938).